

## III-323 現場状下計測値からの材料定数の推定

東京大学工学部

学生員

李 岩 極

正員

石原 研而

正員

桑野 二郎

## 1.はじめに

実地盤の変形解析を行う場合、最も困難な問題となるのは、変形係数等の材料定数の決定である。従来、土の様々な材料定数は、三軸圧縮試験等の室内試験、現位置の波速換算、或は文献により土の性質を比較することにより決定されてきた。その場合、推定された定数は、供試体サンプリング時の搅乱、応力履歴の変化、或は地盤の不均質性等の影響を受けたものと考えられる。従って、工事着手前に地盤材料定数を正確に推定する方法には限界があると考えられるので、施工時の現場計測から施工にオードバーセルさせる方法が最近では一般的である。その手法として、土を線形弾性体とした場合に対し、step-by-step法、一次元光下解析を用いて、変位の計測値から材料定数を逆に決定する方法を試みた。

## 2. 解析法

## 2.1. step-by-step 法

step-by-step 法は架設過程をシミュレートして、堤体中の応力と変位等を計算する方法である。つまり、工事に伴う段階的に増加する上載荷重により、応力と変位を解析して、増分解析法とも呼ばれる。この方法によて解析した鉛直方向変位は盛土土層高の中央点で最大値となり、天端と基点での変位が0となる、上下対称形の変位分布である。

## 2.2. 計算式

Janku (1969) は、土の剛性を拘束压の関数として次式のように表わした。

$$E = K_P \left( \frac{\sigma_3}{P_a} \right)^n \quad (1)$$

ここで、 $E$ はヤング率、 $P_a$ は大気圧、 $\sigma_3$ は拘束压、 $K_P$ は土の定数。盛土における拘束压は  $K_T P_a H$  ( $K_T = \sigma_3 / P_a$ ,  $\gamma$ : 密度,  $H$ : 高さ) であるので、(1)式を

$$E = K_P \gamma^n (K_T H)^n \quad (2)$$

と変形する。今、Fig. 1 のように高さ  $H$  まで一次元的盛立する土柱を均質な弾性体と仮定し、側方変位が拘束され ( $E_H = 0$ )、 $K_T$

を一定値と仮定する。step-by-step 法を用いて、実際の施工のように、基盤から天点までを盛立てから、天点で変位計を設置する。上載荷重を加える前には、天点の変位は0となっており、天点の上に  $dx$  の厚さの土を加えたら、天点の変位量は次の式に存在する。

$$S_R = \int_0^H \frac{y dx}{K_T P_a \gamma^n (x-y)^n} dy \quad (3)$$

$$K_T = \frac{K_P \gamma^n (1-\gamma)}{(1-\gamma)(1-2\gamma)}$$

2. ポアソン比

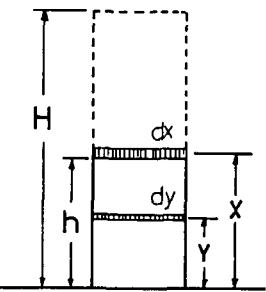
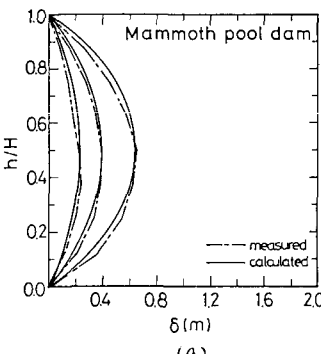
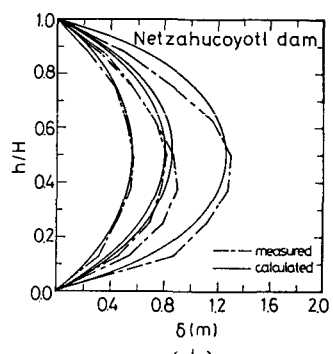


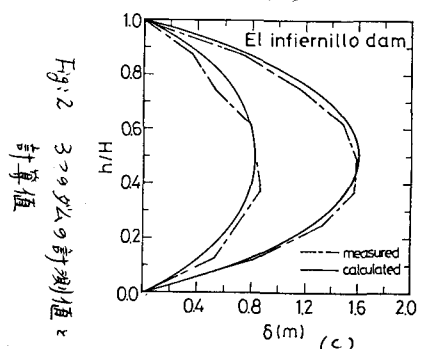
Fig. 1 解析に用いた土柱



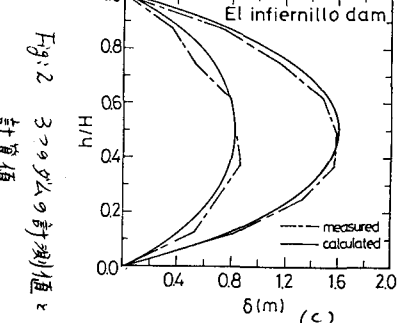
(a)



(b)



(c)



また、完成時には、 $\eta$ から $\zeta$ まで盛る $\zeta$ 、 $\zeta$ 点 $\zeta$ の全変位量は

$$\delta(R) = \int_{\zeta=\eta}^H \delta\zeta = \frac{1}{K_T} \frac{1}{1-n} \frac{1}{2-n} \left( \frac{\zeta}{R} \right)^{1-n} [H^{2-n} - (H-R)^{2-n} - R^{2-n}] \quad (4)$$

となる。施工中、1つの鉛直線上にあらいくつかの変位計により測定された変位を用いて、最小二乗法により、 $K_T$ 、 $n$ の値を求めると、土柱の平均的剛性が出てくる。 $\zeta = z$

$$S = \sum_{i=1}^N (\delta_i - \delta_i)^2 \quad (5)$$

を最小とする、 $K_T$ 、 $n$ を最適とする。 $\zeta = z$ 、 $\delta_i$ は(4)式と同じ $\zeta$ は対応する高さ $\zeta$ の計測値、 $N$ は測点数。(5)式が最小になるためには

$$\frac{\partial S}{\partial n} = 0, \quad \frac{\partial S}{\partial K_T} = 0 \quad (6)$$

(6)式から、計算機を用いて、 $K_T$ 、 $n$ を数値的に求めよ。

### 2.3. 解析結果

解析対象は California's Mammoth Poolダム及び Mexico's

El InfiernilloダムとNetzahucoyotlダムである。全てはコア材を対象としたもので、粘性土に近いと思われる。解析結果は表1に示した。Hは基盤から天端までの高さ。nは0.5~0.9で、参考文献(2)にある実験の結果よりやや高めだが、参考文献(1)にあるようにひずみ振幅に影響される。Silver-Saad $\zeta$ は $E_a = 1\%$ では $\eta$ が約0.9であり、3つのダムの压缩率は約3%であることがわかるので、やや小さめである。3つのダムの変位量計測値と計算値はFig.2で示してある。

### 3. メンツ率とひずみの関係

(4)式から、 $R$ を $1.0m$ に固定すれば、 $H$ を任意に変えると、正がたりとき $\zeta$ （変位量/ $1.0m$ ）に対してもまる。また、下式に基づき

$$\frac{E_1}{E_2} = \left( \frac{\zeta_1}{\zeta_2} \right)^n \quad (7)$$

$E$ を同一の拘束压（例、 $15\text{kg/cm}^2$ ）での値に変換して、任意な $E$ ～ $\zeta$ が得られる。そこで、応力～ひずみをKondnerの双曲線で表せば、割線メンツ率が $E_0 = \frac{1}{\alpha \beta E_0}$ 、 $E_{max} = \frac{1}{\alpha}$ となる。Fig.3は $\zeta$ の範囲を $1 \times 10^{-5} \sim 5 \times 10^{-2}$ 、及 $\beta/K_T$ を0.5に固定して得られた $\alpha$ 、 $b$ 値を計算した結果である。3つのダムとも粘性土につれて從来得られた範囲にほぼ入っている。

### 参考文献

- (1) 石原研究室：“工質動力学の基礎”（鹿島出版会、1982）
- (2) F.H. Kulhawy “Finite Element Analysis of Stresses and Movements J.M. Duncan, in Embankments during Construction” (TE-6P-6)  
H.B. Seed
- (3) STANLEY D. WILSON : “Deformation of Earth and Rockfill Dams”

	H (m)	K <sub>T</sub>	n
MAMMOTH POOL DAM	98.0	168.188	0.737
	51.0	145.241	0.588
	29.0	122.135	0.497
EL INFERNILLO DAM	75.0	79.028	0.836
	115.0	103.189	0.628
NETZAHUCOYOL DAM	60.0	108.602	0.703
	72.0	83.500	0.747
	109.0	70.754	0.901
	80.0	100.579	0.757

表1：解析結果

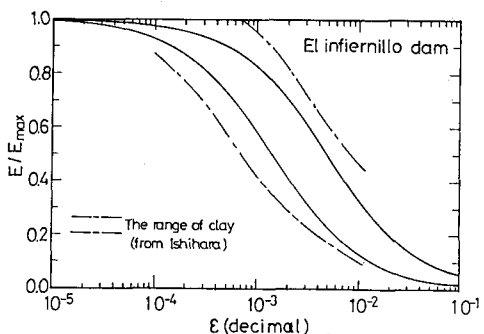
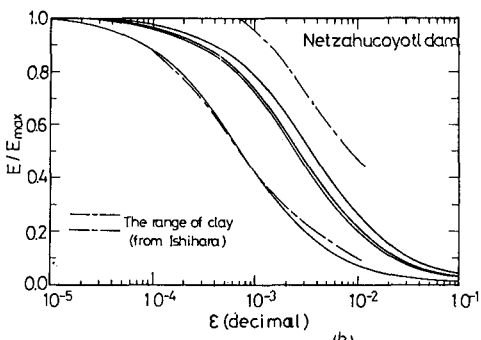
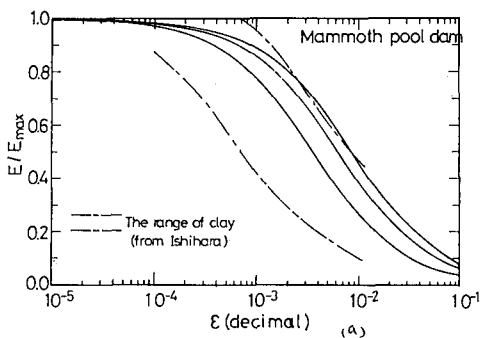


Fig.3 3つのダムの $E/E_{max}$ ～ $\epsilon$ 関係